DUAS GEADAS CRÍTICAS NO BRASIL: PRECURSORES NO OCEANO PACÍFICO E EVOLUÇÃO NA AMÉRICA DO SUL

MICHAEL A. FORTUNE VERNON E. KOUSKY NELSON J. FERREIRA

INSTITUTO DE PESQUISAS ESPACIAIS - INPE CONSELHO NACIONAL DE DESENVOLVIMENTO CIENTÍFICO E TECNOLÓGICO - CNPQ 12.200 - São José dos Campos - SP

RESUMO

Duas geadas com grande repercussão nos mercados mundiais de café ocorreram no Brasil em 1979 e em 1981. Foram analisa dos dados de satélite e boias à deriva, para detetar evidências de futura ocorrencia dessas duas geadas. Dois importantes cursores foram descobertos: (a) Uma configuração de ondas gas, deslocando-se lentamente no Pacifico, amplificou-se entre quatro e cinco dias antes das geadas no Brasil. (b) A da onda longa, quando estava com sua maior amplitude, se perto dos Andes; e o próximo cavado estava localizado longitude do Brasil no Oceano Atlântico Sul. Esta configuração canalizou o ar frio subantártico para latitudes subtropicais, em uma trajetoria totalmente sobre o continente. A primeira evidência de amplificação de ondas foi a frontogênese no centro do Pacifico. Em 1979, a frontogênese subsequente na Argentina foi acelerada pela aproximação oportuna do cavado de uma onda curta, um dia antes de o cavado da onda longa no sul do sil, chegar a sua amplitude maxima. O ar polar empurrou vigoro samente a frente fria até o Equador. Enquanto o cavado da onda longa saia do Brasil, uma forte geada atingiu quatro estados, ao leste do anticiclone polar. Em 1981, as ondas longas no Pací fico amplificaram como em 1979, mas a parte norte do cavado no Atlântico desprendeu-se do resto da onda longa. Enquanto o vortice prendido (com núcleo frio) passava pelo sul do Brasil três dias mais tarde, uma geada intensa abateu uma extensa area ao norte do Tropico de Capricornio, onde geadas são raras. Em ambos casos, registraram-se prejuizos somente nas āreas sob ceu po. A intensificação das ondas longas, no caso de 1979, gou-se com a velocidade de grupo dada pela teoria de A energia de perturbação, propagando-se com esta velocidade foi importante no desenvolvimento de frentes e na intensidade do frio no Brasil. A detecção por meio de satélites de uma per turbação tão grande de ondas longas no Pacifico possibilita uma previsão de geadas no Brasil com 4 ou 5 dias de antecedência.

1 - INTRODUÇÃO

Ocasionalmente, as regiões agricolas do sul do Brasil são a fetadas por geadas que destroem parte da colheita de trigo, cana de açucar e cafe. Esses eventos geralmente ocorrem a partir da segunda quinzena de junho até o final de julho, o período mais frio do ano (Rummey, 1968, p. 290). Obviamente é de grande inte resse econômico a detecção de evidências que possam fornecer an tecipadamente informações sobre a ocorrência de geadas severas.

Devido ao efeito que as geadas no Brasil têm nos preços do café no mercado mundial, vários estudos focalizaram as condições sinoticas antes e durante tais eventos. Parmenter (1975) anali sou a geada de 1975, talvez a mais severa do século, usando ima gens transmitidas por satélite meteorológico, enquanto Tarifa et alii (1977) discutiu as razões para a distribuição dos danos na quele ano.

Hamilton e Tarifa (1978) analisaram as condições sinóticas as sociadas à geada severa de julho de 1972. Eles enfatizaram o pa pel do centro frio de um anticiclone nos baixos níveis, que se guiu uma trajetória continental do sul da Argentina até o trópico de Capricórinio. A ciclogênese ocorreu no setor nordeste do anticiclone no sul do Brasil; subsequentemente o ciclone moveu-se para sudeste sobre o Atlântico. A área em que ocorreram os danos lo calizou-se a leste do centro de alta pressão. Um estudo feito pe lo Instituto Brasileiro do Café (1975) mostrou que em cinco gea das, durante 1957-1975, as características sinóticas eram seme lhantes.

A analise feita por Hamilton e Tarifa foi limitada ao continente da America do Sul, onde havia poucas observações a ceste de 600 W e a norte de 200 S, e nenhuma informação acima de 400 mb.

Apresenta-se neste trabalho uma análise mais extensa das condições sinóticas antes e no decorrer das duas mais recentes geadas no Brasil, que tiveram repercussão no mercado mundial de café.

2 - BASE DOS DADOS E ANĀLISES

Desde 1975 a geada mais severa do Brasil ocorreu oportunamen te durante o periodo especial de observação do Experimento Global do Tempo (FGGE¹) em 1979. Nessa ocasião coletou-se no Hemisfério Sul uma quantidade de informações meteorológicas sem precedentes. Foram colocadas nos oceanos Pacífico e Atlântico Sul 50 boias a deriva dentro da área analisada. As informações colhidas pelas boias (Garrett, 1980; Guymmer and Le Marshall,1980) permitiram a reconstrução do campo de pressão ao nível do mar, o qual serviu de nível de referência na construção dos campos de espessura e altura nos níveis superiores. Foi necessário consultar a procedência dos dados e fazer um controle de qualidade do monitoramento das boias (World Meteorological Organization, 1980) para eliminar os dados daquelas que estavam consistentemente erradas.

As sondagens de temperatura foram obtidas pelo satélite TIROS-N, que fornece em média uma sondagem por dia em uma dada região. Usaram-se imagens no infravermelho do satélite SMS-Leste, processadas a cada 90 minutos pela estação de recepção do INPE, São José dos Campos, SP, exceto durante quatro periodos (que to talizaram 35 horas num periodo de 7 dias de análises), quando o satélite estava no modo de varredura rápida e, portanto, não mo nitorava o Hemisfério Sul. Os vetores vento obtidos a partir do movimento de nuvens foram produzidos pelo National Earth Satellite Service, EUA, para os niveis de cirrus e de cúmulus. Consultou-se também um filme de 16 mm com imagens em animação correspondentes aos periodos especiais de observação do "FGGE", produzido pelo U.S. GARP Office².

Os dados convencionais coletados da América do Sul estavam melhor do que o normal durante o Experimento Global do Tempo; em media 25 estações de radiossondagem transmitiram uma vez por dia as 12:00 T.M.G. As alturas e temperaturas reportadas foram recal culadas a partir dos dados dos níveis significativos. Usaram-se também as observações da superficie de uma densa rede de estações na América do Sul e cerca de seis ilhas. Foi consultada a análi se tropical em pontos de grade feita rotineiramente pelo Centro Meteorologico Nacional dos Estados Unidos³. Essa análise consiste em valores do vento e temperatura em todas as superfícies isoba ricas padrões, em pontos de grade espaçados de 59. A consistência e continuidade das análises do NMC implementaram significativamen te as análises nas áreas oceânicas, onde os dados geralmente são esparsos, mas apresentaram três desvantagens. A análise não estendeu ao sul de 48º S, não foi duplamente corrigida por um a nalista em termos de consistência com imagens de satélites e as observações de boias à deriva não foram incluidas por chegarem atrasadas. Para estender a análise mais ao sul(e tornar os dados do NMC de consistente com as imagens de satélite em duas das qua torze analises), foram consultadas fotos de satélite a fim de a plicar um procedimento de análise em uso operacional no Bureau Australiano de Meteorologia. Kelly (1978) e Guymmer (1978) des creveram os detalhes desse procedimento, enquanto (1979) e Streten (1980) consideram os produtos australianos apro priados para estudos diagnosticos.

^{1&}quot;FGGE" é a sigla de "First Garp Global Experiment", e "GARP", de "Global Atmospheric Research Program".

² "The Global Weather Experiment Special Observing Period II-GOES-West/Goes East Infrared Images": Filme de 16 mm do U.S. Global Atmospheric Research Program, National Oceanic and Atmospheric Administration-NOAA, Rockville, Maryland, USA.

As analises de superfície foram preparadas a cada 12 horas (em intervalos de 6 horas para os dias criticos: 28,29 e 30 de maio de 1979). O campo de espessura para a camada 1000-500 mb, foi somado graficamente com o campo de geopotencial de 1000mb para produzir o da superfície de 500 mb. O campo de temperatura em 700 mb foi obtido principalmente a partirdas sondagens do TIROS-N. Os dados do NMC foram usados para preparar cartas de linhas de es coamento e vorticidade em 250 mb; a trajetória ea intensidade dos centros de vorticidade neste nível também foram mapeadas.

JANGAM CARY ATMOJA - 1

Para o caso de 1981 o procedimento foi similar, mas a análi se do NMC não continha dados de temperatura não havia imagens de satelites ao sul de 42º S (devido a problemas com o satelite SMS-2), e o número de observações de superficie nas áreas oceâni cas era bem menor. As análises à superficie foram feitas somente para a região continental da América do Sul e para o Oceano Atlântico

Em ambos os casos, as imagens no infravermelho das regiões afetadas pela geada foram realçadas para destacar com precisão de 19 C as temperaturas na vizinhança de 09 C.A distribuição da tem peratura assim obtida foi comparada com as observações da rede de estações agrometeorológicas em três estados do Brasil.

3 -A GEADA DE MAIO DE 1979: CARACTERÍSTICAS SINÓTICAS

Nas manhãs de 31 de maio e 19 de junho de 1979 quatro esta dos do Brasil experimentaram temperaturas abaixo de 0°C. Esta gea dar, a mais severa desde 1975, ocorreu antes do periodo em que normalmente ocorre, o qual se estende da 2ª quinzena de unho até o final de julho. A analise da situação sinótica que levou a es se evento pode ser convenientemente dividida em 3 fases: a fase de alerta preliminar, definida como os dias 26 e 27 de maio que precederam a formação de frentes na América do Sul (nesta fase concentrou-se mais atenção as condições no Oceano Pacifico a oes te do Chile ate 1409 W); a fase de frontogênese, que inclui a for mação de uma frente fria na Argentina e seu subsequente avanço para o Brasil nos dias 28 e 29 de maio; e finalmente a fase da invasão de ar frio, na qual focalizam-se as areas onde temperaturas de congelamento ocorreram no sul do Brasil.

^{3&}quot;NMC Tropical Grid Analyses" estão disponíveis em fitas mag neticas no National Center for Atmospheric Research-NCAR, Boulder, Colorado USA., ou no National Climatic Center, Asheville, North Carolina, USA.

3.1 - ALERTA PRELIMINAR

De 21 a 27 de maio de 1979 dois cavados de ondas longas es tavam presentes nas longitudes de 500 W (no Atlântico) e 1200 W (no Pacífico Central). Em associação com valores baixos de espes sura ao longo de 500 W, ocorreram no sul do Brasil temperaturas proximas a do ponto de congelamento nos dias 24 e 25 de maio.

A primeira evidência de que o cavado existente no Oceano Pacífico estava começando a se aprofundar foi o seu alargamento e prolongamento para sudeste da massa de cirrus "A" (Figura 1) en tre as longitudes 1009-1259 W. Em torno das 00:00 TMG do dia 27 de maio era evidente que A estava se expandindo muito rapidamente de modo não comum para um sistema extratropical. Nesse dia, o es cudo de cirrus assumiu uma configuração do tipo S invertido evidenciando o desenvolvimento de uma frente na zona baroclínica, corrente abaixo do cavado T em 1209 W e corrente acima da crista R em 959 W (As posições dos vários cavados e cristas, determinadas nas análises de 500 mb das figuras 2 e 5, estão marcadas por pares de setas identificados por "T" e "R" nas fotos de satélites).

No primeiro dia (26 de maio) do período de análise, o escoa mento em 500 mb era de poste-noroeste sobre o Pacífico leste,com uma crista sobre o Chile (Figura 2 a). A única evidência de desenvolvimento em A (Figura 1), ao nível do mar, foi um fraco cavado de pressão, no lado superior esquerdo da Figura 2 b.

Um ciclone formou-se em 33º S, 115º W, no dia 27 demaio, e o anticiclone próximo da costa do Chile comecou a alongar-se na di reção polar (Figura 2d). Essas características estavam associa das com o desenvolvimento de um cavado e de uma crista (Figura 2c). Um cavado de onda curta, marcado com "V" na Figura 1 e lo calizado em 75º W na Figura 2c, penetrou no sul do Chile e deslo cou-se para o Brasil. A trajetória da onda curta "V" está plotada na Figura 3. A medida que ela se moveu para as latitudes mais baixas, passando da curta para o cavaco da onda longa, vor ticidade relativa decresceu, isto e, a circulação tornou-se mais ciclônica, conforme esperado pelo "principio de conservação de vorticidade absoluta".

3.2 - FRONTOGÊNESE

No dia 28 de maio a onda continuou amplificando-se e, por volta das 12:00 TMG, o escudo de cirrusa ela associado estendeu se de 15º S a 65º S de latitude, numa distinta forma de S invertido (Figura 4). Nesse horário o cavado atingiu a máximaintensidade. O centro de alta pressão à superfície desenvolveu-se numa grande celula orientada paralela à costa do Chile, a leste da crista em intensificação no nível de 500 mb (Figura 5 a,b).

Mais a leste, o cavado V, agora na Argentina.estava unindose a um cavado de onda longa no Atlântico (verlinha tracejadaem 70º W, 30º S na Figura 5 a). Com a aproximação do cavado V, for mou-se uma frente em superfície no norte da Argentina (Figura 5b). As 12:00 TMG do dia 28 de maio o sistema frontal ainda não tinha provocado nenhuma precipitação, e a única evidência dele nas ima gens de satélite era a camada de nuvens médias e altas (em E na figura 4), que se assemelha à folha baroclínica :configuração de nuvens associada com frontogênese nos níveis superiores (Weldon, 1979, pp. 62-79).

Outras características da frontogênese do dia 28 de maio estão representadas na analise de multiplos niveis na Figura 6a. A compactação de isotermas no nivel de 700 mb(linhas tracejadas) indicam uma zona altamente baroclinica na area de frontogênese. Uma "lingua" de ventos máximos em 250 mb (acima de 100 Knots, som breada) sobre o Chile estava propicia para advectar vorticidade ciclônica do eixo do cavado para a região acima da zona baroclinica, não somente neste dia como também nos dois dias seguintes.

No Pacifico a crista atingiu a maxima intensidade no dia 29 de majo (Figura 5 c). Os valores de espessura no sul do Chile na latitude de 550°S eram tão altas quanto os valores típicos para a latitude de 309 S. Uma configuração persistente do escoamento em 500 mb estabeleceu-se: a corrente de jato contornou a crista no extremo sul do Chile, continuou para o norte sobre o continen te cerca de 2500 km, seguiu o lado leste da Cordilheira dos An des, curvando-se então em torno do cavado e penetrando no BrasiT pelo noroeste. Essa configuração manteve-se por 3 dias. Em super ficie (Figura 5 d), o anticiclone que estava no Pacifico cruzou o sul dos Andes. O gradiente de pressão entre o anticiclone e os ciclones velho e novo ao longo de 500 W aumentou consideravelmen te em 24 horas, tal que fortes ventos advectaram ar frio para o norte. No Brasil (Figura 6 b) a frente fria foi submetida a um desenvolvimento rapido. Imagens de satélite em intervalos de 6 horas (Figura 7) ilustram o quão rápido o sistema de nuvens fron tais expandiu e avançou para nordeste. Associados com a frontoge nese, originaram-se diversas linhas de trovoadas na frente e atras do sistema frontal das 00:00 TMG as 18:00 TMG. A formou-se um domo de ar frio que avançou para norte, conforme pode ser visto nas isotermas em 700 mb (Figura 6 b).

Durante as primeiras 36 horas de sua vida, a frente fria a-vançou para norte e leste, numa taxa de 700 km/dia (Figura 8). De pois das 00:00 TMG do dia 30 de maio, ela diminuju consideravelmen te súa velocidade. Entretanto uma análise temporal dos dados das estações localizadas a oeste da Bacia Amazônica demonstrou que essa frente chegou a 60 km do equador. O fato um tanto surpreen dente de frentes frias poderem cruzar o equador em direção ao Hemisfério Norte foi documentado por Myers (1964), Kousky e Ferreira (1981) através de dados de superfície, e por Parmenter (1976) através de imagens de satélites. As trajetórias e intensi dades dos correspondentes ciclones e anticiclones também estão plotados na Figura 8.

3.3 - INVASÃO DO AR FRIO

A configuração ondulatória que permitiu a advecção de ar frio para o norte, inteiramente sobre o continente, das latitudes subantárticas para as tropicais, persistiu por mais de dois dias. Durante esse período, o sul do Brasil foi atingido por ar muito frio. Na carta do dia 30 de maio (Figura 9a) o cavado sobre o Atlântico estava no seu estágio mais intenso. Os valores de espessura no cavado na latitude de 30º S eram típicos dos encontra dos em maio em Cabo Horno (latitude 55º S). No nível de 250 mb, a vorticidade relativa caiu para um valor não comum para aquela latitude, ou seja, cerca de $-13 \times 10^{-5} \ \rm s^{-1}$. A área hachurada na Argentina e Chile indica onde as temperaturas mínimas atingiram 0º C ou menos em 30 de maio. A ampla cobertura de nuvens baixas atras da frente pode ter impedido a ocorrência de frio similar, mais a norte.

Temperaturas abaixo de zero ocorreram no Brasil em duas manhãs. No dia 31 de maio a área hachurada (Figura 9b), proveniente do norte da Argentina, estendeu-se para o sul do Brasil. O eixo do cavado em 500 mb passava então pela área cafeeira no Estado de São Paulo, e o anticiclone à superfície localizava-se na bor da Brasil-Paraguai. O ceu estava claro (ao sul de 2008 e a oeste de 450 W) e os ventos em superfície eram de sudoeste com 5 a 10 nos. As temperaturas mínimas (no abrigo meteorológico) em 20 estações nos estados do sul variavam de -20 C a +20 C, e a maioria estava abaixo de zero. Na manhã de 1 de junho, o anticiclone po sicionou-se sobre o estado de São Paulo. Condições calmas possibilitaram alguns recordes da temperatura mínima abaixo de -20 C, mas foram registrados mais valores acima do que abaixo de 00 C. Imagens no infravermelho realçadas (não mostradas) demonstraram que a geada foi menos ampla e intensa em 1 de junho do que em 31 de maio.

4 - A GEADA DE JULHO DE 1981

Nos dias 20 e 21 de julho de 1981 o Brasil foi afetado por uma outra geada severa, desta vez numa extensa região ao norte do Trópico de Capricórnio, onde as geadas são raras. Em certos aspectos, os estágios iniciais dessa geada assemelhavam-se a fase de alerta preliminar do caso de 1979. Entretanto durante os dois dias que precederam a geada de 1981, a configuração do escoamento em ar superior evoluiu de modo diferente da do caso de 1979.

Um cavado penetrou ao sul da América do Sul nos dias 14 el 15 de julho de 1981, quando temperaturas abaixo de 0º C foram observadas na vizinhança do eixo do cavado, area sombreada na Figura 10 a,b. Esse mesmo cavado ou parte dele permaneceu nas longitudes da América do Sul durante uma semana. Uma onda curta foi observada em 16 de julho, com um cavado em 125º W e uma crista em 105º W (Figura 10 c), entre os quais era evidente nas imagens de satélite (não mostradas) uma banda de nuvens frontais. No dia

seguinte (Figura 10 d), a crista em 80°W ampliou-se consideravel mente e a zona frontal a oeste dela estendeu-se para sudoeste.Cor rente abaixo, o escoamento de sul estabeleceu-se em 500mb, ao longo da Argentina. Nos dias 16 e 17 de julho o escoamento de sul guiou o anticiclone em superfície para norte, fazendo com que a frente fria se deslocasse rapidamente para o extremo oeste do Brasil. O ar polar deslocou-se para latitudes tropicais por mais $\overline{3}$ dias (Figura 10 e,f) consequentemente em torno das 18:00 TMG do dia 19 de julho a frente fria cruzou o Equador.

Temperaturas na vizinhança de 0º C confinaram-se nas regiões continentais a oeste de 550 W, distante das areas agricolas eco nomicamente importantes. A frente permaneceu inativa e com ar não muito frio em sua retaguarda, na região leste do Brasil. No dia 18 de maio o escoamento começou a meandrar em torno do sistema crista-cavado (Fig 10e) cujo eixo passou a ter orientação quase les te-oeste. O centro de vorticidade ciclônica (X nas Figuras 10 e, f), propagando-se perpendicularmente ao eixo do cavado, deslocouse para o sul do Brasil. Talvez em resposta a essa trajetoria a circulação no cavado tenha se intensificado até cerca das 18:00 TMG do dia 19 de julho, quando se formou um vortice fechado que se desprendeu do resto do cavado. Uma imagem de satélite no espectro visivel, para aquele horario (Figura 11) forneceu a pri meira evidência observacional da existência do vortice, o qual apresentava em "Q" forma de espiral. Durante os três dias poste riores, a medida que o ciclone se deslocava para nordeste e a seguir para sudeste, a nebulosidade em sua vanguarda, especial mente na zona frontal velha, desenvolvia-se em convecção profun da (topos mais frios) e organizava-se em espiral, conforme pode ser visto nas imagens no infravermelho (Figura 12). No dia 19 de julho a medida que a língua de ar seco girava pelos lados oeste, norte e nordeste do vortice, o ceu claro possibilitava grande per da radiativa durante o período noturno. De fato, em 20 de julho a area com temperaturas abaixo do ponto de congelamento proveni ente de noroeste, estendeu-se para o Brasil (Figura 10 g). Ao contrário do que supunha, essas temperaturas baixas lado equatorial do vortice.

De acordo com as análises em 500 mb, o ciclone atingiu sua intensidade máxima, quando deixou o continente às 00:00 TMG de 21 de junho. Imediatamente à retaguarda do centro, as regiões ca feeiras do Brasil, estavam sob ceu limpo e nas vizinhanças do an ticiclone em superfície (Figura 10 h). Temperaturas próximas de 00 C foram observadas numa ampla área entre 0300 HL e 0700 HL (06:00 TMG e 10:00 TMG) no dia 21 de julho de 1981.

A extensão da área onde a temperatura em superfície atingiú 0º C ou menos, foi documentada com imagens no infravermelho, real çadas, a cada hora. Um exemplo disso é mostrado para as 0600 HL na Figura 13. A área com tonalidade escura, circundada por cinza claro na parte superior da imagem representa superfície com tem peratura radiométrica em 0º C ou menos. A área afetada estendeuse 1200km de leste para oeste, e na direção norte chegou ate 17º S. As áreas mais atingidas localizavam-se ao norte do Trópi

co de Capricornio onde geada é considerada um evento raro. A cul tura de cafe foi recentemente expandida nessas áreas, parcialmen te em resposta as geadas de 1975 e 1979. Foram essas as areas mais atingidas pela geada em 1981.

E instrutivo comparar as condições precedente às geadas de 1979 e 1981. Analogamente ao evento de 1979, a geada de 20-21 de julho de 1981 foi precedida por:

- a) Frontogênese no Oceano Pacifico, corrente abaixo de um cavado em amplificação em torno de 120º W e cerca de 4 a 5 dias antes da geada.
- b) Uma crista em amplificação que se estendeu para sudes
- te, no sul do Chile, 3 dias antes.
 c) Um periodo de dois dias ou mais, durante os quais linhas de corrente nos altos níveis seguiram um longo caminho para o norte, sobre a Argentina.
- d) Formação ou intensificação de uma frente fria no norte da Argentina ou sul do Brasil, 1-2 dias antes.

A geada de 1981 diferiu da de 1979 em dois aspectos impor tantes: Primeiro, as sucessivas cristas e cavados atingiram a am plificação maxima cerca de 10º em longitude mais a oeste. O efei to foi introduzir ar mais frio inicialmente no oeste do BrasiT em vez de no leste. Segundo, depois da amplificação a porção nor te do cavado fechou-se sobre a Argentina, formando um ciclone com nucleo frio que seguiu uma trajetoria diferente da parte sul. As sociada com o ciclone fechado, a massa de ar frio deslocou-se pa ra o Brasil mais lentamente do que em 1979. Do momento em que surgiu o anticiclone polar na Argentina até a noite em que ocor reram geadas severas no Brasil decorreram seis dias em 1981 e apenas dois em 1979.

> 5 - PROPAGAÇÃO DE ENERGIA DE ONDAS COMO UM FATOR CONTRIBUIN TE A PERÍODOS ANOMALAMENTE FRIOS

Mostrou-se na seção 3 que a amplificação de uma configuração quase estacionária de ondas, com um comprimento de 60º a 70º de longitude e uma fase correta em relação à América do Sul, levou a uma invasão de ar frio no Brasil em 1979. Uma amplificação seme lhante ocorreu em 1981, mas a relação de fase era menos favorave a entrada direta de ar frio no leste do Brasil. Contudo, depois de algum atraso, o ar polar eventualmente atingiu o Brasil, associação com um ciclone fechado em ar superior. A amplificação da circulação sobre o Oceano Pacifico, antes da amplificação sobre a America do Sul, sugere uma propagação paralesteda energia ondas. Parry and Roe (1952) investigaram a propagação de le nergia de ondas que pode ter causado uma grande invasão de ar frio no leste dos Estados Unidos. A primeira amplificação obser vada ocorreu quando um cavado em 700 mb intensificou-se no leste. da Siberia. As cristas e cavados corrente abaixo amplificaram su cessivamente como se houvesse uma cascata, até que finalmente.

uma crista sobre o oeste dos Estados Unidos e um cavado mais a leste provocaram a entrada de ar muito frio no leste dos Estados Unidos. O fator responsável foi atribuído a transferencia de energia pelas ondas dispersivas, de acordo com Rossby (1945). Desde que a energia das ondas pode propagar-se mais rapidamente do que as suas fases individuais, os efeitos de uma grande perturbação puderam espalhar-se rapidamente corrente abaixo nos ventos de oeste.

Para ilustrar a propagação de energia e de fase de ondas, Hovmöller (1949) construiu diagramas nas quais o geopotencial foi plotado para uma certa latitude fixa, tendolongitude como absci sa e tempo como ordenada. De modo similar, plotaram-se valores de espessura para a camada 1000-500mb (Figura 14) correspondentes a semana em que ocorreu a geada em 1979. (Tanto o geopotencial co mo a espessura apresentaram configurações similares), Como salī entado por Parry e Roe, os diagramas do Hovmöller para uma lati tude específica não revelam tudo sobre o comportamento das cris tas e cavados. Os ventos de oeste tendem a impulsionar as pertur bações de ondas curtas ao longo das trajetórias . ondulatórias terminadas pelas ondas longas (Figura 3). Como as ondas longas e curtas interferem-se construtivamente, qualquer que seja o local onde as fases similares superpõem-se, as maiores anomalias nega tivas de espessura são encontradas em latitudes baixas no eixo do cavado da onda longa, e as maiores anomalias positivas em la titudes altas no eixo da crista. Por essa razão escolheram-se duas latitudes (28°S e 48°S) para as analises em questão.

As características apresentadas na Figura 14 são as seguin tes:

a) Dois cavados frios que se movem lentamente estão situa dos ao longo de 120º W e 50º W, conforme indicado pelas zonas verticais claras e centros sombreados, que repre sentam as anomalias mais frias dentro dos cavados. A area hachurada em diagonal ao longo de 80º W indica uma crista quente.

b) Os centros com anomalias maiores, indicados pela posição das letras, A, B, C e D, são bem definidos em longitude e tempo. Os cavados A e B atingem intensidade máxima em 1200 W e 550 W respectivamente, na latitude de 280 S (Figura 14 a). As cristas C e D atingem picos de intensidade em 800 W e 100 W, na latitude de 480 S (Figura 14b).

c) Os centros das anomalias A, C, B e D caem aproximadamente numa linha reta quando se transferem as localizações de C e D da Figura 14 b para a Figura 14 a.

O notavel alinhamento dos centros de anomalia A, C, B e D sugere que a energia estava propagando-se ao longo dessa linha, com uma velocidade de grupo C, de 35 a 40 graus de longitude por dia, que corresponde à inclinação da linha. Isto é consideravel mente maior que a velocidade de fase obtida da Figura 14, que variou de 1 a 3 graus por dia até 29 de maio, e posteriormente de 6 a 9 graus por dia. Parece que a propagação para leste da ener

gia de ondas pode realmente contribuir para a amplificação de um cavado responsável pela introdução de ar anomalamente frio nas latitudes subtropicais, incluindo o Brasil.

6 - SUMÁRIO

Observações de ondas longas e de desenvolvimento frontal na região central do Oceano Pacífico Sul podem fornecer alertas pre liminares sobre a ocorrência de geadas severas no Brasil. 1979, a amplificação de uma configuração de cavados e cristas en tre 1500 W e 900 W e sua clara manifestação numa banda de nuvens frontais, que se estendeu de modo anormal de latitudes baixas a altas, precederam um desenvolvimento similar de uma frente na A merica do Sul dois dias depois. As geadas ocorreram no Brasil cin co dias depois dos eventos no Pacifico. Em 1981, a amplificação de um cavado em 120º W, de uma crista em 80º W e de uma frente e xistente entre estes precedeu a formação de um ciclone desprendi do na América do Sul por 3 dias e a ocorrência de geadas no Brasil por 4 a 5 dias. Igualmente importante em ambos os casos foi a relação da fase das ondas longas com respeito à posição geográfica da América do Sul, que favoreceu a entrada de ar frio no sul da Argentina, de onde este foi advectado para as latitudes subtropicais. A presença de uma crista no sul do Chile e de cavado nas longitudes do Brasil, no momento em que ocorria a a<u>m</u> plificação, favoreceu a canalização de ar frio para o norte especial devido a orientação de noroeste para sudeste das fases.

A história sinótica da geada de 1979 pode exemplificar os processos que precedem invasões de ar frio nos subtrópicos. Fron togênese, conforme visto em imagens de satélite, ocorreu na região central do Pacífico Sul entre 2005 e 3005 de latitude. A banda de nuvens frontais alongou-se até atingir o intervalo de latitude entre 150 S e 650 S, enquanto uma crista com pressões al tas intensificou-se próximo da costa do Chile. Posteriormente, for mou-se uma frente fria no norte da Argentina, que avançou rapida mente para o Brasil, adiante de um cavado de onda curta vindo do Pacífico. Ao sul o anticiclone à superfície cruzou os Andese mo veu-se imediatamente para o norte. Durante 3 dias, o escoamento em ar superior guiou o ar polar nos baixos níveis ao longo do flanco leste dos Andes para as latitudes baixas até o Equador. Logo após o cavado no Atlântico ter atingido o seu máximo desen volvimento e, ter começado a sair do Brasil, o céu ficou limpo e uma geada severa ocorreu até cerca de 200 S, a leste do anticiclone polar.

Similarmente em 1981 ocorreu no Pacifico a amplificação de uma onda longa que apresentava uma relação de fase favorável cerca de 4 a 5 dias antes da geada severa no Brasil. Entretanto, a amplificação dos cavados e cristas ocorreu um pouco mais a oeste do que em 1979. As geadas foram observadas somente nas áreas sub tropicais a oeste do continente, até que o cavado no Atlântico amplificou-se ao ponto de parte dela ficar para traz como ciclone desprendido. Este ciclone com núcleo frio,propagando-se lentamen

te na direção equatorial, provocou geadas severas 2 dias depois nu ma faixa de terra onde a cultura de café tinha sido expandida recentemente.

Nas duas situações, a aproximação oportuna de um cavado de on da curta, quando o cavado da onda longa no Atlântico aproximava-se do pico de máximo desenvolvimento, foi um fator importante para a introdução de ar anomalamente frio nos subtrópicos. Outro fator importante no caso de 1979 foi identificado usando os diagramas de Hovmöller. A propagação de energia de ondas com uma velocidade de grupo de 35 graus de longitude por dia parece ter contribuição para a amplitude anormal do cavado frio. Essa velocidade excedeu tan to a velocidade observada da fase das cristas e cavados, como tam bém a de todas as ondas curtas identificadas pelos centros de mãximo e mínimo de vorticidade.

As condições sob as quais vários precursores podem ocorrer no inverno, sem a subsequente ocorrência de geadas nas latitudes sub tropicais, e um tópico que merece mais investigações. Além disso, as diferentes evoluções dos dois casos apresentados sugerem que geadas podem ocorrer sob diferentes circunstâncias, embora seja necessário o crescimento de ondas em escala sinótica, cerca de 3 a 5 dias antes. O fato de não ocorrerem geadas severas todos os anos no Brasil e também de os dados em areas oceânicas existirem só recentemente complicam o estudo sobre geadas nos subtropicos. Ob servações em tempo real de uma rápida intensificação de ondas lon gas no Pacífico Sul podem, contudo, fornecer um alerta preliminar sobre a entrada de ar anomalamente frio no Brasil com 3 a 5 dias de antecedência, desde que a relação de fase com respeito ao con tinente esteja favorável.

AGRADECIMENTOS

Agradecemos a John Garrett (Canada), David Halpern (EUA) e a Marinha Argentina por terem fornecido os dados de boia a deri va; a Andrew Horowitz (NESS- Washington)por ter fornecido os da dos de ventos e temperaturas medidas por satelites; a N.A. Stre ten por ter fornecido o material sobre os metodos de analise na Australia; a Terri Gregory da Universidade de Wisconsin (EUA), por ter cedido fotos do satelite DMSP; e a Hassan Virji por ter cedido o filme das imagens GOES durante o experimento FGGE. For extremamente importante o envio de observações de temperaturas nas noites com geada, pelas seguintes instituições: Instituto Agronômico de Campinas (IAC), Instituto Agronômico do Parana (IAPAR), e Instituto de Pesquisas Agronômicas do -- Rio Grande do Sul (IPAGRO). Luiz C.B. Molion, Merrit W. Stevenson e Darci P. Casarin contribuiram com discussões sobre os metodos de analise. Sergio R. Calbete Rocha ajudou a plotar os dados; Jose Moreira con tribuiu para o processamento especial da Figura 13; Manoel C.Ri beiro da Silva e Celso L. de Faria processaram as fotografias des te trabalho, sob rigido controle de qualidade. A Força Aerea Bra sileira (FAB) e Telecomunicações Aeronauticas S.A. (TASA) suple mentaram o nosso banco de dados. Finalmente agradecemos a Irace

ma F.A. Cavalcanti a revisão do texto e a Sueli Ferreira a sua datilografia. Este trabalho foi parcialmente financiado pelo Convênio CNPq/INPE/FINEP - B/54-81/042/00/00.

REFERÊNCIAS BIBLIOGRĀFICAS

- GARRETT, J.F. Availability of the FGGE drifting buoy system data set. Deep-Sea Research, London, 27A: 1083-1086, 1980.
- GUYMER, L.B. Operational application of satellite imagery to synoptic analysis in the Southern Hemisphere . Melbourne, Australia, Bureau of Meteorology, Apr. 1978, 90 p., il. (Technical Report, 29). Dept. of Science, P.O. Box 1289k, Melbourne.
- GUYMER, L.B.; LE MARSHALL, J.F. Impact of FGGE buoy data on Southern Hemisphere analysis. Australian Meteorol. Magazine, 28(1): 19-42, Mar. 1980. Republicado em Bull. Amer. Meteorol. Sac., Boston, 62(1): 38-47. Jan. 1981.
- HAMILTON, M.G.; TARIFA, J.R. Synoptic aspects of a polar outbreak leading to frost in tropical Brazil, July, 1972. *Monthly Weather Review*, Boston, 106(11): 1545-1556, Nov. 1978.
- HOVMÖLLER, E. The trough and ridge diagram. Tellus, Stockholm, $\underline{1}(1)$: 62-66, Feb. 1949.
- INSTITUTO BRASILEIRO DO CAFÉ, INFORMATIVO. Geadas de um século. Brasilia, Depto. de Assistência à Cafeicultura, n.7, 1975.11p. Instituto Brasileiro do Café, SCS Ed. Central SBL, CEP 70300, Brasilia D.F.
- KELLY, G.A.M. Interpretation of satellite cloud mosaics for southern hemisphere analysis and reference level specification.

 Monthly Weather Review, Boston, 106(6):879-889, June 1978.
- KOUSKY, V.E.; FERREIRA, N.J. Interdiurnal surface pressure varia tions in Brazil: Their spatial distributions, origins and effects. *Monthly Weather Review*, Boston, 109(9): 1999-2008, Sept. 1981.
- MYERS, V.A. A cold front invasion of southern Venezuela. Monthly .

 Weather Review, Boston, 92(11): 513-521, Nov. 1964.
- PARMENTER, F.C. A southern hemisphere cold front passage at the equator. Bulletin of American Meteorological Society, Boston 57(12): 1435-1440, Dec. 1976.
- PARRY, H.D.; ROE, C. Record low temperature in the Mid-Atlantic and East Central States, October 20-22, 1952. Monthly Weather Review, Boston, 80(10): 195-202, Oct. 1952.
- ROSBBY, C.G. On the propagation of frequencies and energy in certain types of oceanic and atmospheric waves. *Journal of Meteo rology*, Boston, 2(4):187-204, Dec. 1945.

- RUMNEY, G.R. Climatology and the world's climates. London, MacMillan, 1968, 656 p.
- STRETEN, N.A. Some synoptic indices of the Southern Hemisphere mean sea level circulation 1972-77. Monthly Weather Review, Boston, 108(1): 18-36, Jan. 1980.
- TARIFA, J. R. et alii. A gênese dos episodios meteorológicos de julho de 1975 e a variação espacial dos danos causados pelas geadas à cafeicultura no Estado de São Paulo. Ciência e Cultura, São Paulo, 29(12): 1362-1374, Dex. 1977.
- TRENBERTH, K.E. Interannual variability of the 500 mb zonal mean flow in the southern hemisphere. *Monthly Weather Review*, Boston, 107(11): 1515-1523, Nov. 1979.
- WELDON, R. Cloud patterns and the upper air wind field. Washing ton, D.C., Application Division, National Earth Satellite Service NESS, National Oceanographic and Atmospheric Administration NOAA, Mar. 1979. 80p.(Satellite Training Course Notes, part 4). (U.S. Government Printing Office, n. 1979-281-067/214). Disponivel de: Supt. of Documents, U.S. Government Printing Office, Washington, DC 20402.
- WORLD METEOROLOGICAL ORGANIZATION. FGGE drifting buoy system Summaries of individual buoy histories. Geneva, Suiça, FGGE Buoy Data Control Centre, 1980. 812 p.

- ABSTRACT

TWO SEVERE FREEZES IN BRAZIL: PRECURSORS IN THE PACIFIC OCEAN AND SYNOPTIC EVOLUTION IN SOUTH AMERICA

Two freezes with repercussions on world coffee markets struck Brazil in recent years, one during FGGE (First Garp Global Experiment) in 1979, the other in 1981. Data from multiple sources including satellites and drifting buoys were analyzed for early warning signs and synoptic evolution of the freeze events. Two important precursors were found: (a) A slowly moving long wave pattern in the Central South Pacific Ocean amplified greatly one to two days before frontogenesis in South America and four to five days before the freezes in Brazil; (b) The long wave ridge, when at maximum amplitude, was located near the southern Andes, and the next long wave trough downstream was located in the South Atlantic at the longitude of Brazil. This configuration channelled subantarctic air northward entirely over

land into subtropical latitudes. Frontogenesis in low latitudes in the mid-Pacific was the first sign of wave amplification in the 1979 case. Subsequent frontogenesis in northern Argentina was accelerated by the opportune approach of a short wave trough one day before the downstream long wave trough reached greatest amplitude in southern Brazil. Vigorous entry of polar air impelled the cold front as far as the equator. As the long wave trough left Brazil, a hard freeze occurred in four states, east of the polar anticyclone. In 1981 the long wave pattern in the Pacific amplified as in 1979, but with a phase relationship displaced some 10° west relative to the first case. Freezes did not occur in eastern Brazil until after the northern portion of the Atlantic trough became cutoff. On the passage of the cold-core vortex through Brazil, freezing temperatures struck a large swath of land north of the Tropic of Capricorn, Where a freeze is rare. Analysis of Hovmöler ridge-trough diagrams suggests that group-velocity propagation of wave energy from the unusual amplification of the cold trough in South America.

amplification of the cold trough in South America.

The opportune superposition of short and long wave troughs also contributed to the strong cold air invasion.

of the land of the land to local of localments

C.D.U. - 551.509.324(81)

courace, including satellites and drift, my eapys were anergor of the free for early warning signs and synoptic graph signs of the free formts. Two important precursors were found: (a) A slowly not synoptic from the central South Pacific Occon, amplifying and four to two days before frontogenesis in South, free and four to five days before the freezes in Braxil; (b) is slong wave under, when at maximum umplikude, was located near the southean Andes, and the rext long wave trough downstream was 'd transfer for the form it and the sext long wave trough downstream was 'd freezes for the south Atlantic at the longitude of Brazil; This for the gurstion channelled sutanterctit air northward entirely over

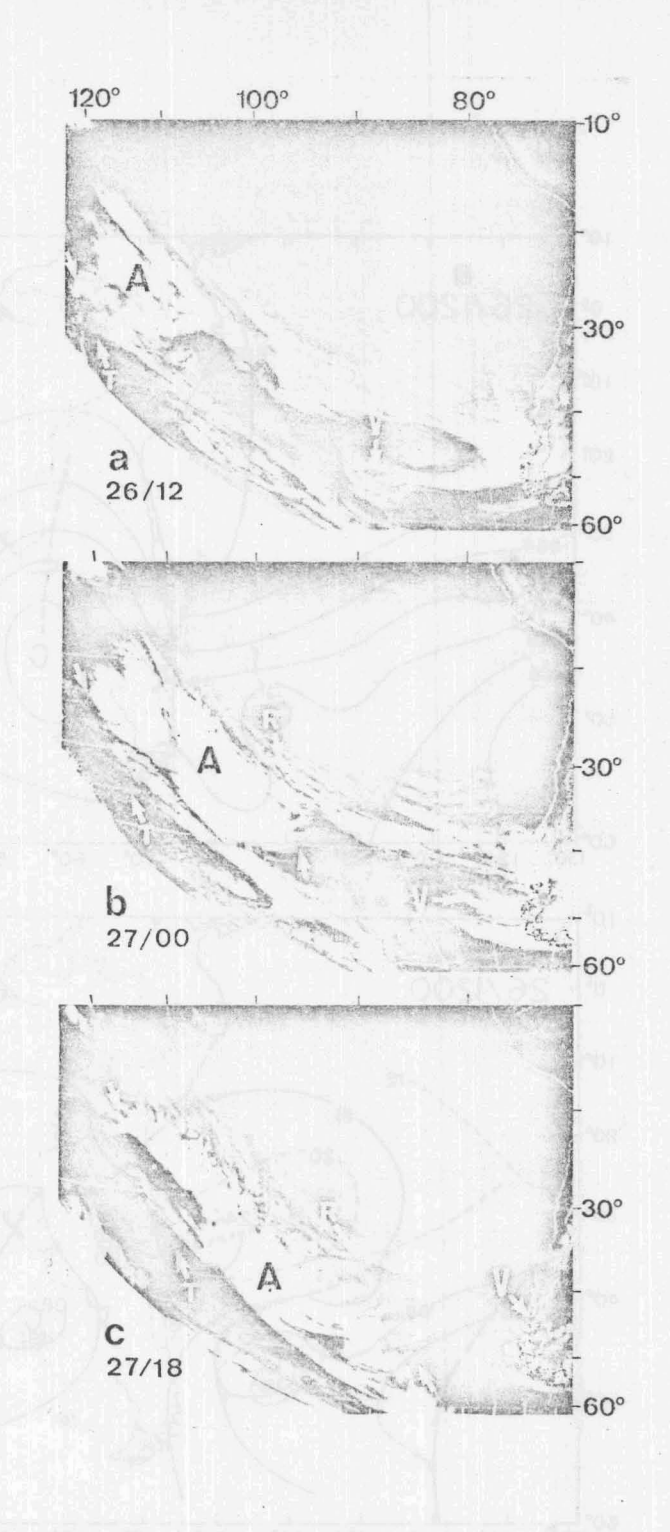


Fig. 1

Imagens no infravermelho do satélite GOES, do setor sudeste do Oceano Pacífico, quando as ondas longas amplificaram corrente acima da América do Sul. (a) 1200 TMG-26 de maio de 1979; (b) 0000 TMG-27 de maio de 1979; (c) 1800 TMG-27 de maio de 1979. Os pares de setas em T indicam o eixo de um cavado; em R, o eixo de uma crista; e em V, o centro de vorticidade do cavado de uma onda curta. A letra A indica uma camada extensa de cirrus e nuvens frontais que se desenvolveram rapidamente.

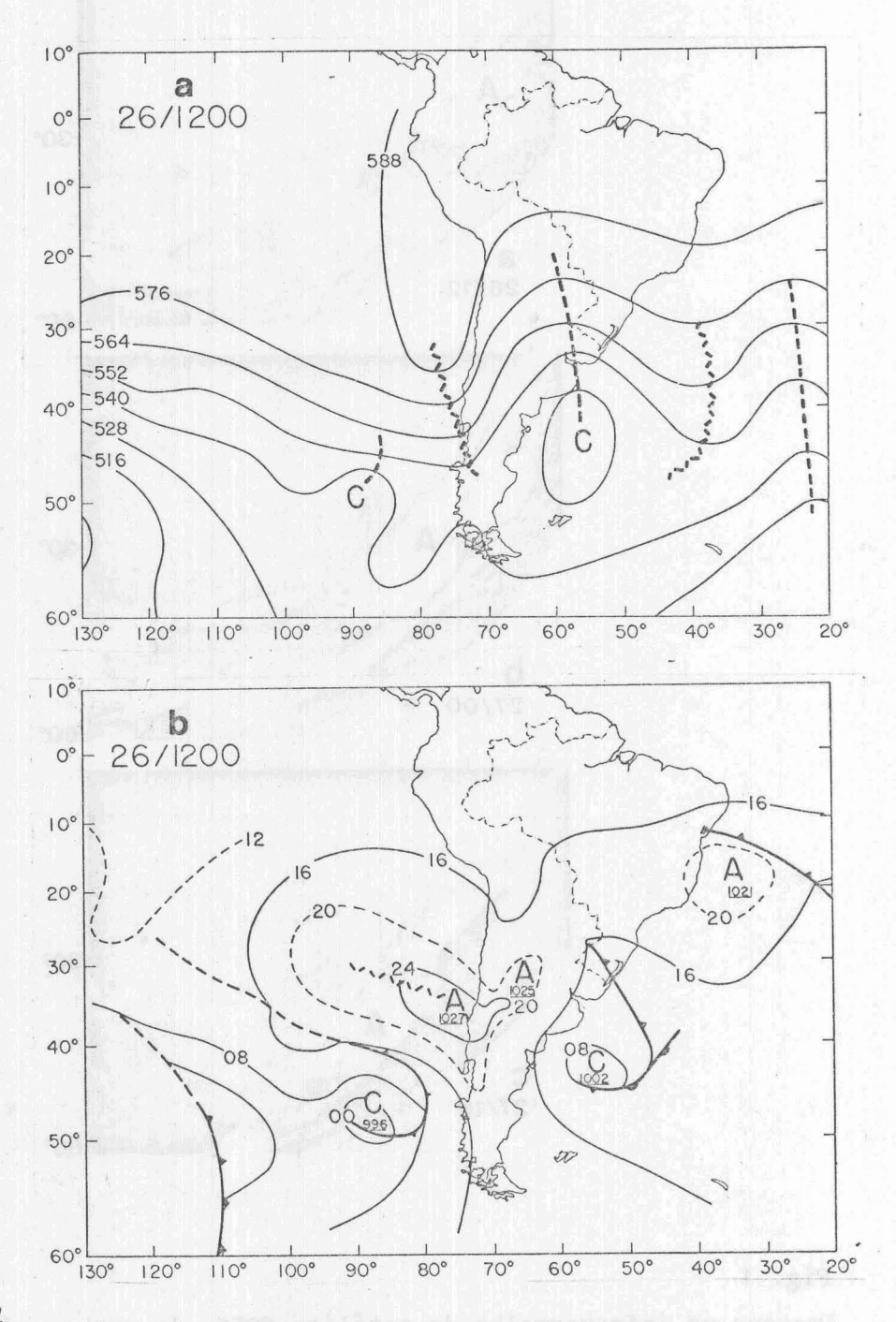
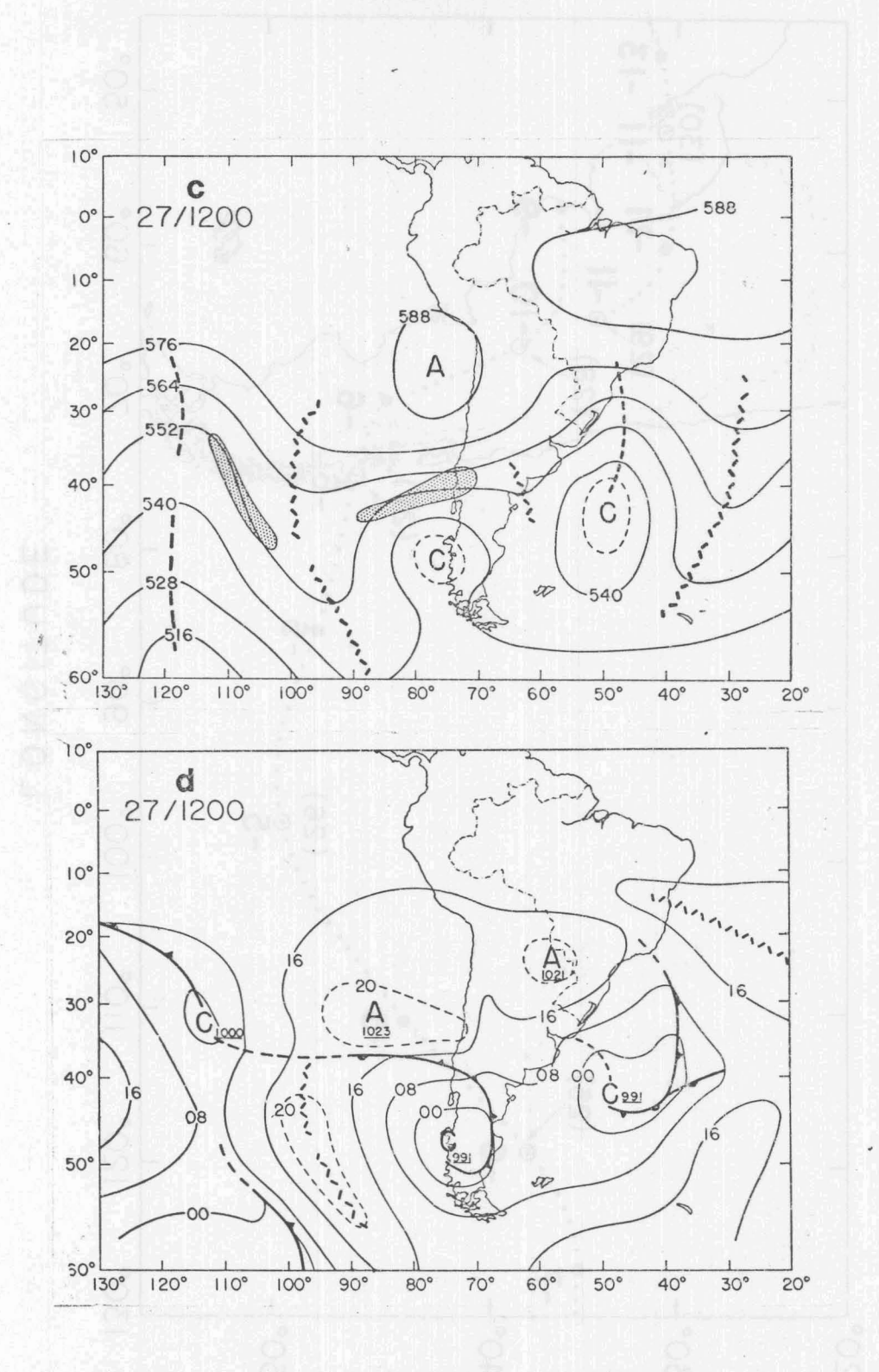


Fig. 2

Análises sinóticas em: (a) 26 de maio de 1979 em 500 mb, (b) 26 de maio de 1979 à superfície, (c) 27 de maio de 1979 em 500 mb, e (d) 27 de maio de 1979 à superfície. Em (a) e (c), traçaram-se contornos de geo potencial em intervalos de 12 decâmetros, e sombrearam-se as regiões on de os ventos excedem 100 nos ao nível de 250 mb. Em (b) e (d)traçaram-se as frentes, cristas e cavados com os símbolos padronizados; o campo de pressão ao nível do mar com isobaros em intervalos de 8 mb; e os an ticiclones (A) e ciclones (C) com os seus valores de pressão sublinha dos.



Continuação Fig. 2

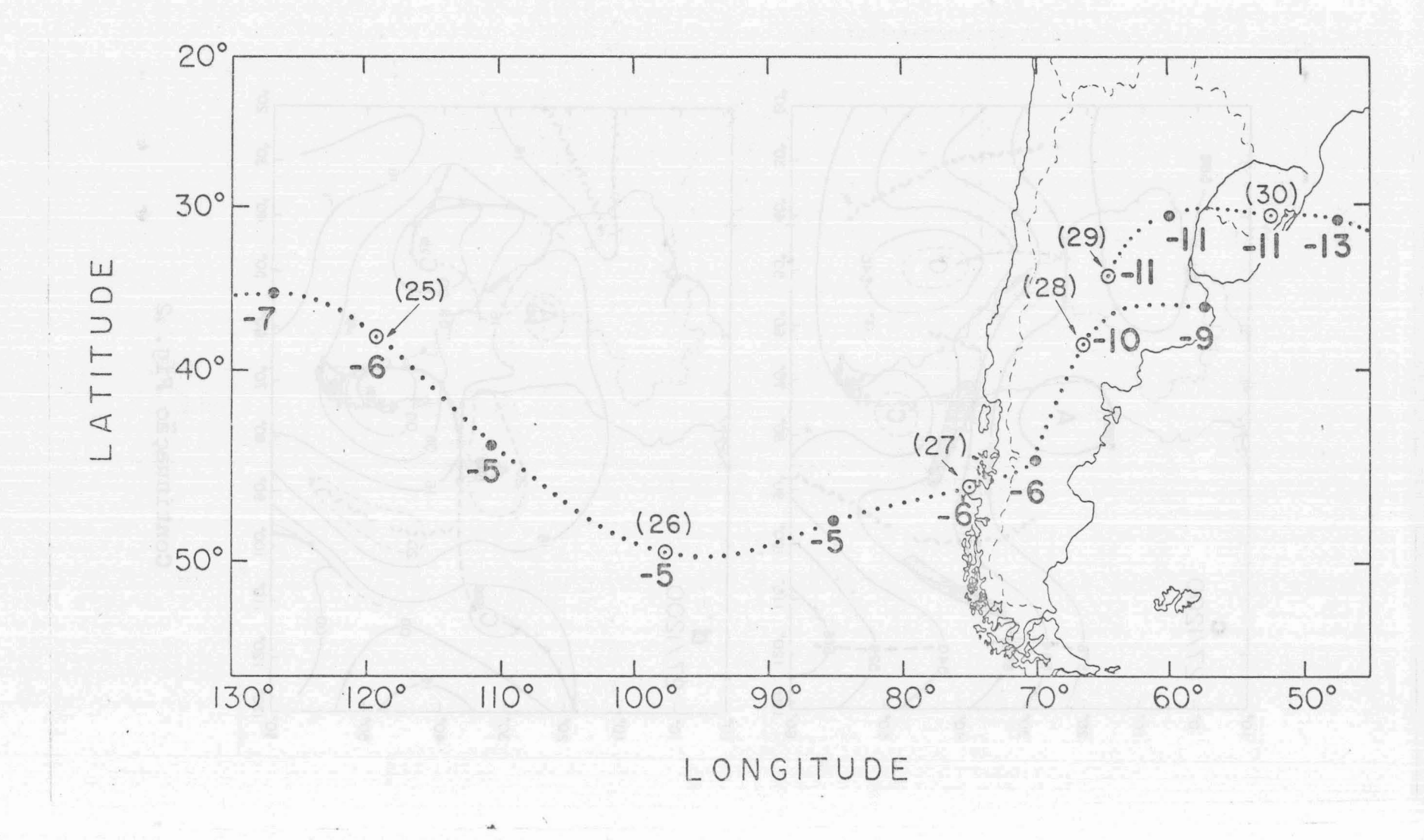


Fig. 3 - Trajetória (linha pontilhada) do centro de vorticidade V de uma onda curta. Os círculos em negrito e os círculos com pontos representam as posições de V em 0000 e 1200 h TMG, respectivamente. Os dias do mês de maio são dados pelos números em parênteses, e os valores de vorticidade (em unidades de 10⁻⁵ s⁻¹) pelos números negativos.

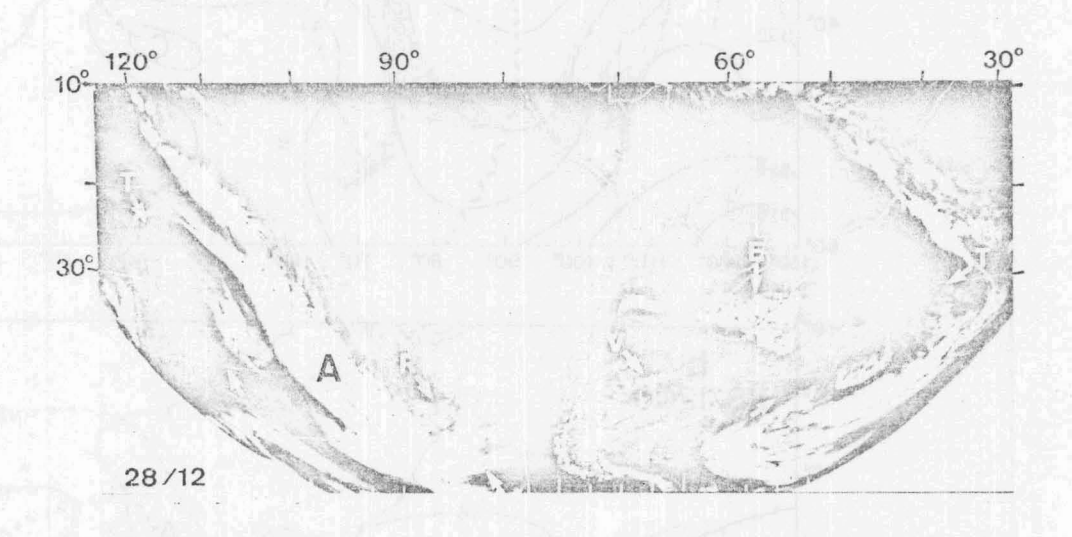


Fig. 4 - Imagem no infravermelho em 1200 TMG de 28 de maio de 1979, que inclui a América do Sul. As letras T, R e V são usadas como na Figura 1. A letra E indica uma formação triangular de nuvens as sociadas com a primeira fase de ciclogênese. Outro cavado T no Atlântico também é indicado.

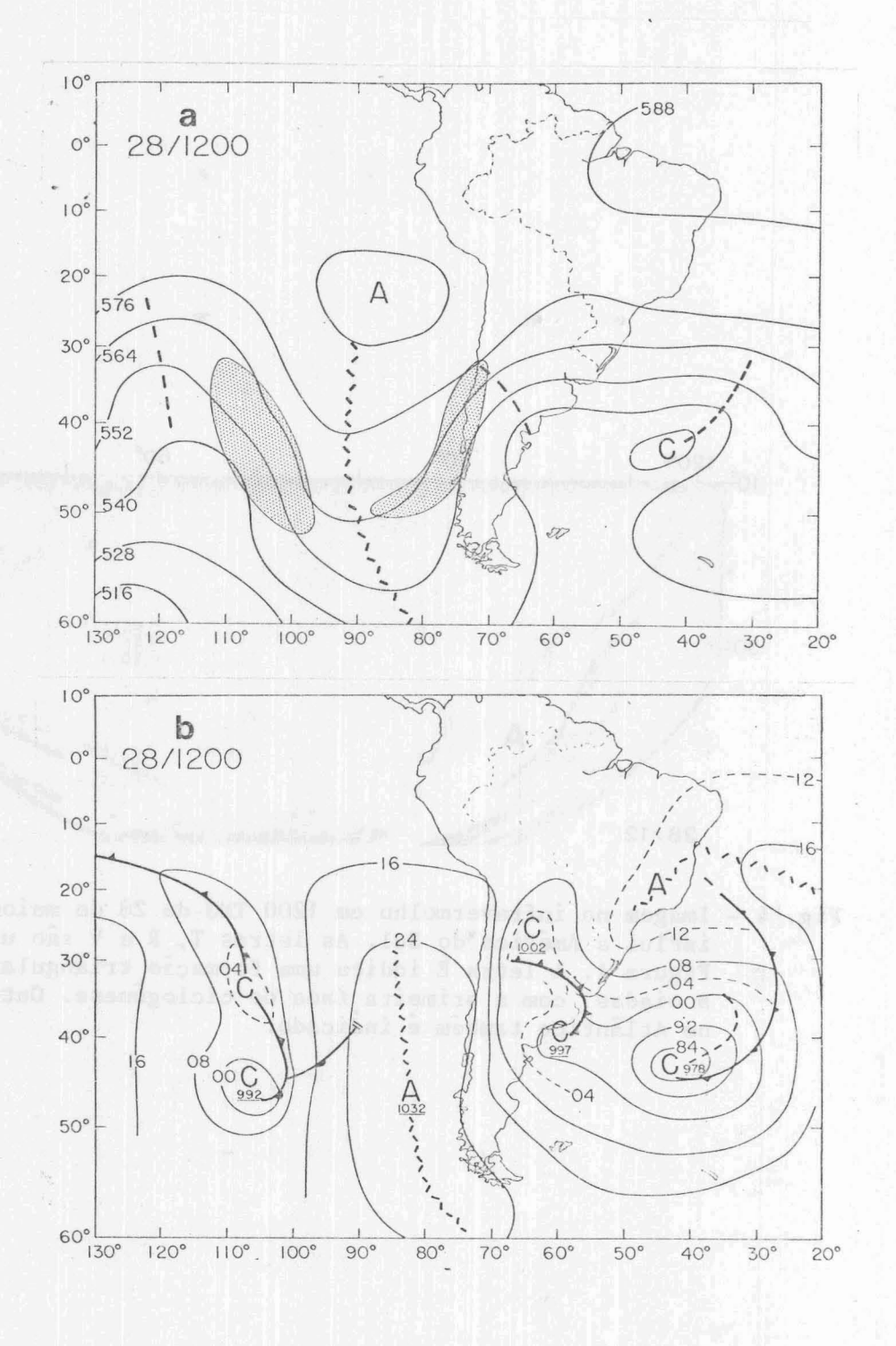
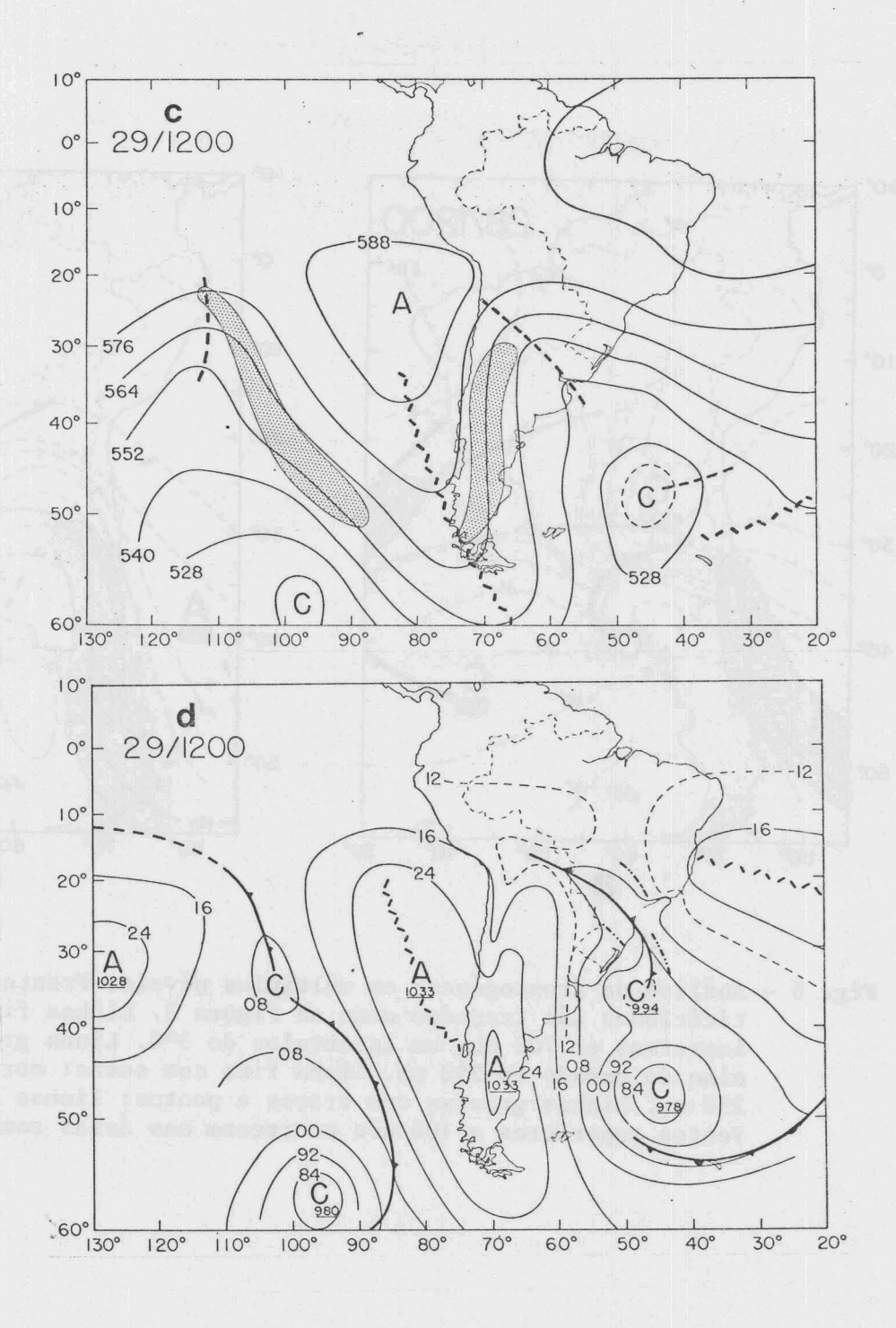


Fig. 5 - Análises sinóticas em (a) 28 de maio de 1979 em 500 mb, (b) 28 de maio de 1979 à superfície, (c) 29 de maio de 1979 em 500mb, e (d) 29 de maio de 1979 à superfície. Os símbolos são os mes mos da Figura 2.



Continuação Fig. 5

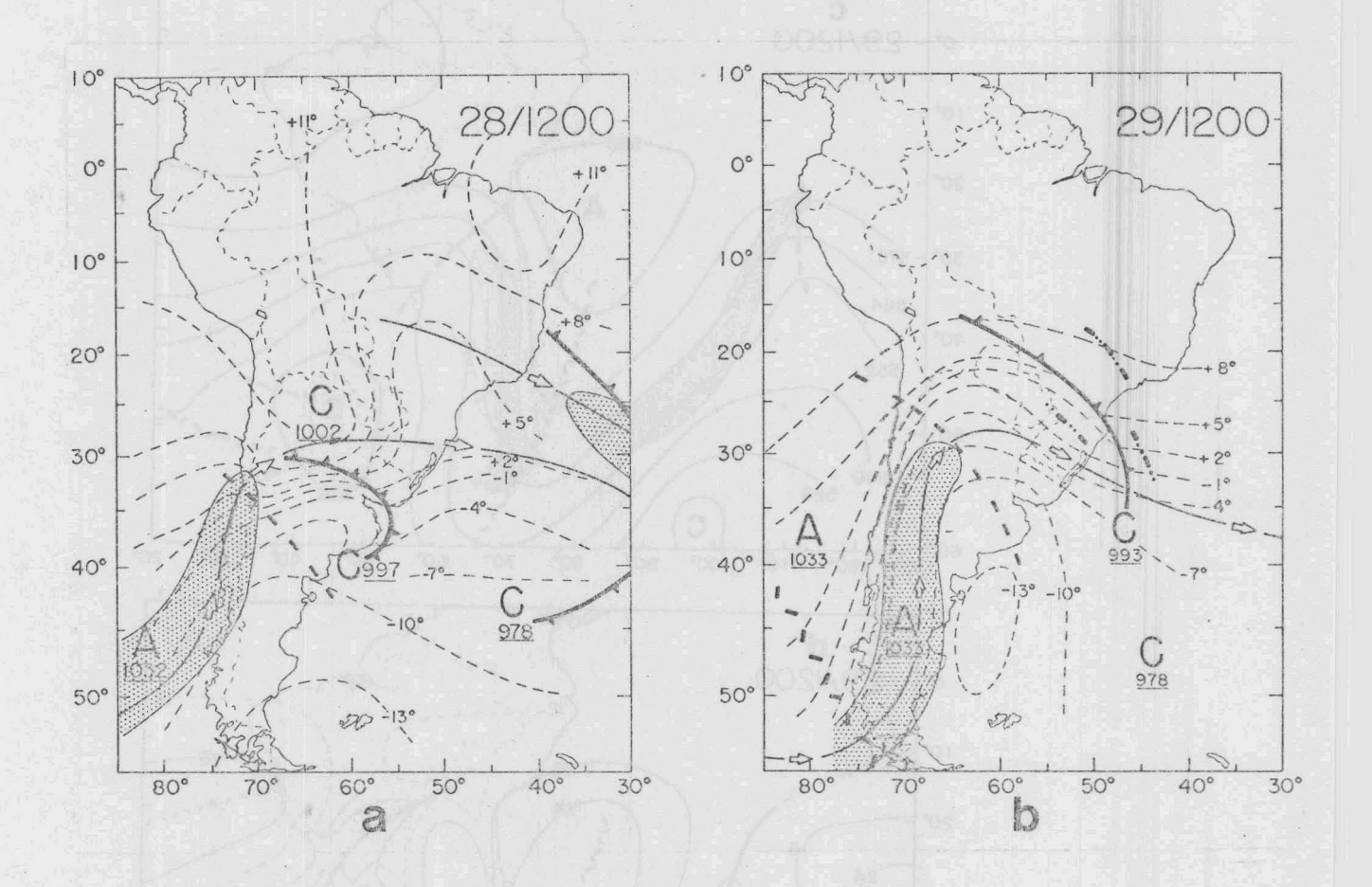


Fig. 6 - Análise da frontogênese em multiplos níveis. Frentes, ciclones e an ticiclones são traçados como na Figura 2. Linhas finas tracejadas: isotermas em 700 mb, em intervalos de 3°C. Linha grossa tracejada: eixo do cavado em 250 mb. Linha fina com setas: corrente de jato em 250 mb. Linhas grossas com traços e pontos: linhas de trovoadas. Ventos superiores a 100 nos ocorreram nas áreas sombreadas.

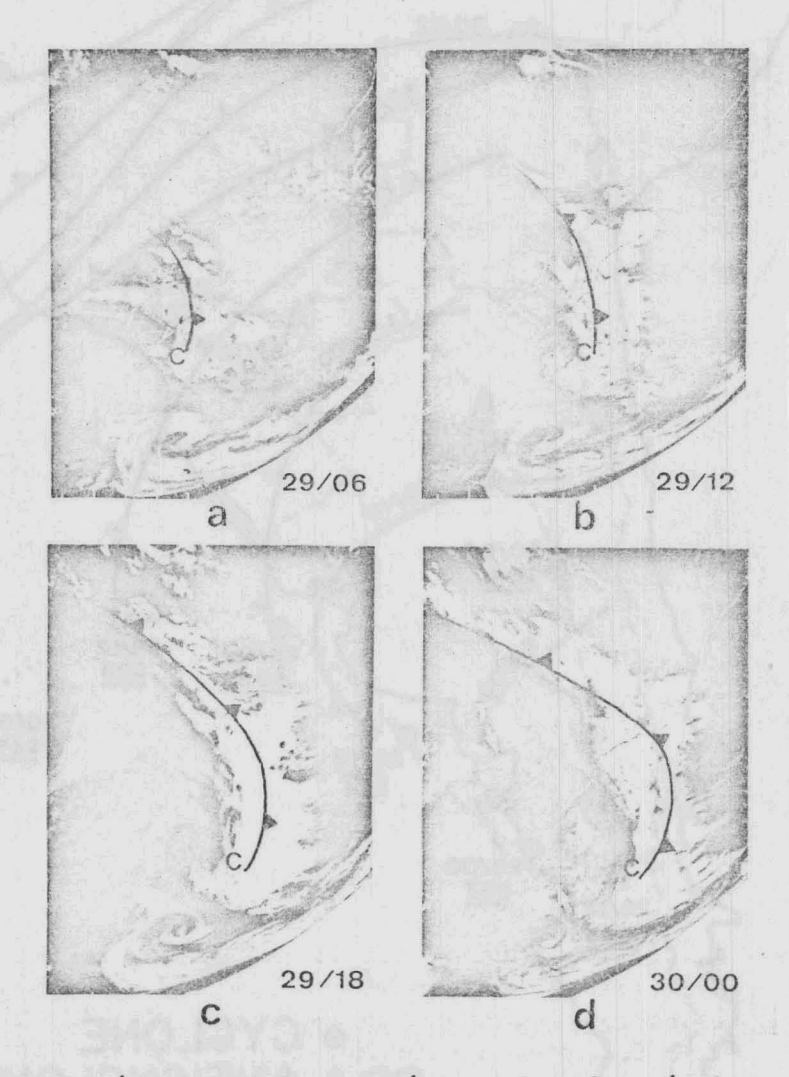


Fig. 7 - Imagens no infravermelho, em intervalos de seis horas, em 29 de maio de 1979 nos horários: (a) 0600 TMG, (b) 1200 TMG, (c) 1800 TMG, e em 30 de maio de 1979 no horário: (d) 0000 TMG. O avanço da frente fria e das linhas de trovoadas é documentado.

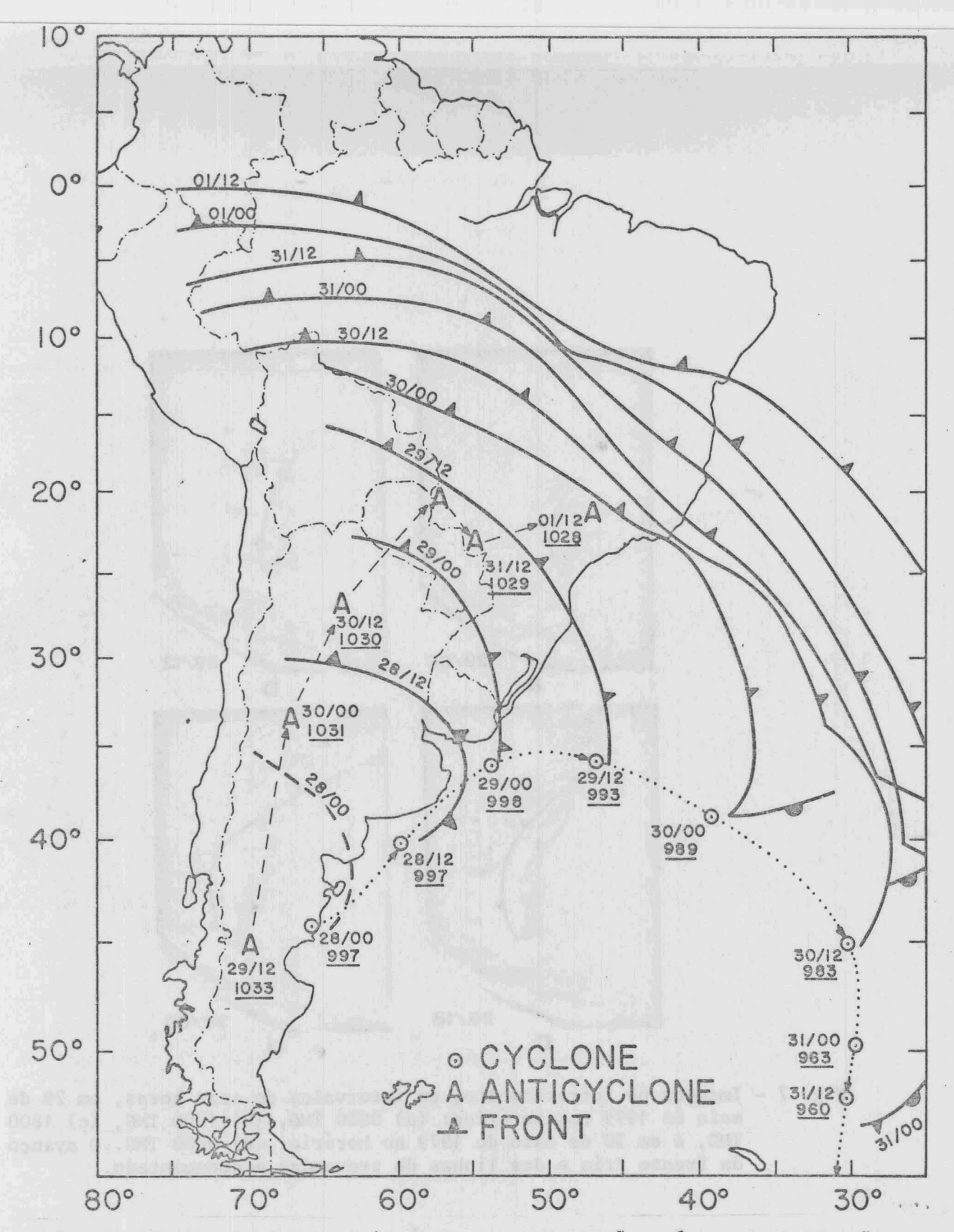


Fig. 8 - Avanço de frente fria desde a sua formação até a sua dissipação.

O dia e horário da posição são escritas à esquerda. Linha ponti
lhada: trajetória do ciclone associado com sua posição e distri
buição de pressão (em mb), indicadas a cada 12 horas. Linha tra
cejada com letras A: trajetória do anticiclone polar, também com
a sua posição e pressão indicadas a cada 12 horas.

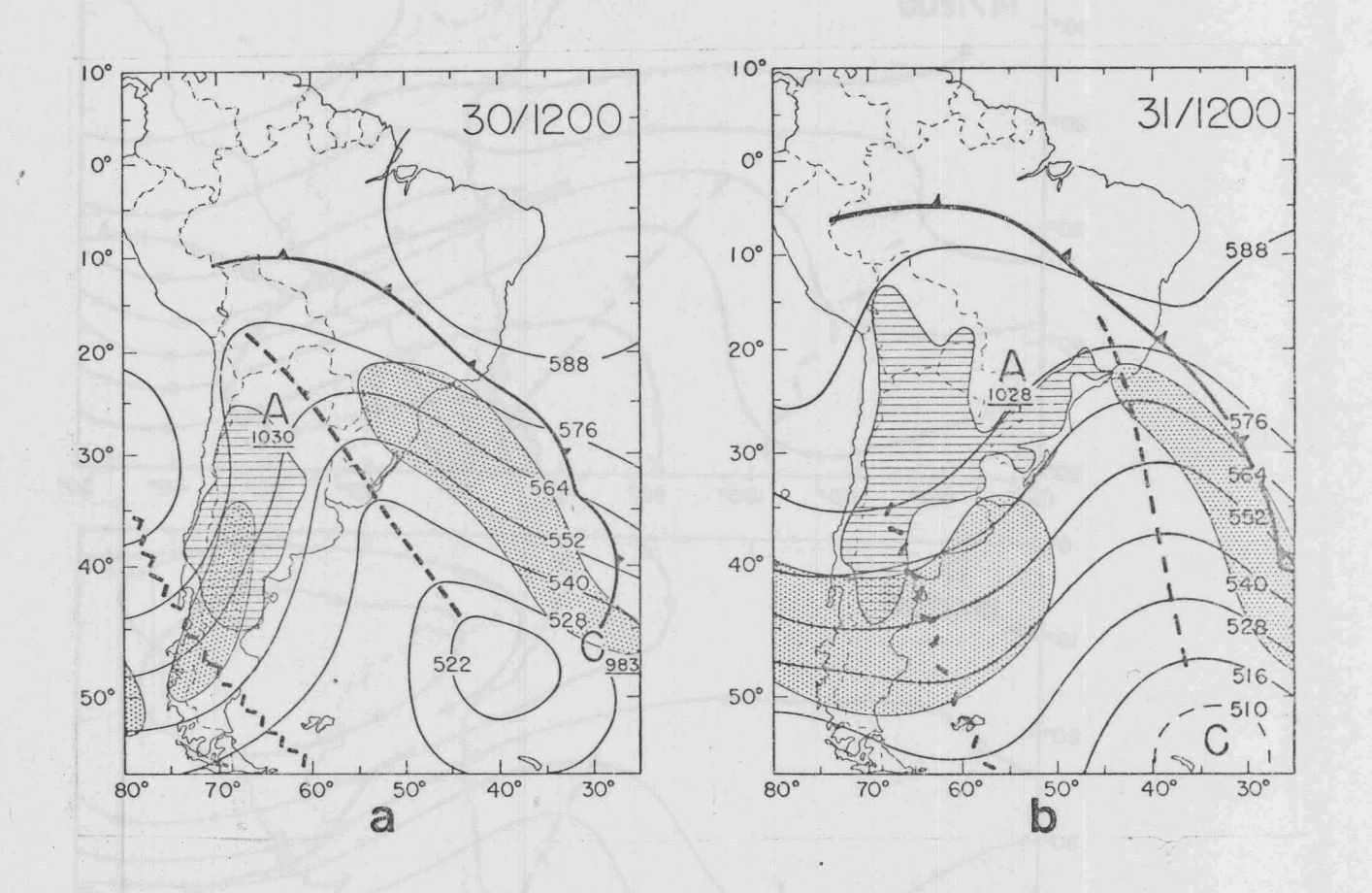


Fig. 9

Análises em multiplos níveis para 1200 TMG, (a) 30 de maio de 1979 e
(b) 31 de maio de 1979. Símbolos para cavados, cristas e contornos de
geopotencial em 500mb como os da Figura 2a. Símbolos para frentes, ci
clones e anticiclones à superfície como os da Figura 6. Área sombrea
da: ventos superiores a 100 nos em 250mb. Área hachurada: regiões onde
as temperaturas da superfície terrestre caíram abaixo de 0°C na noite
prévia.

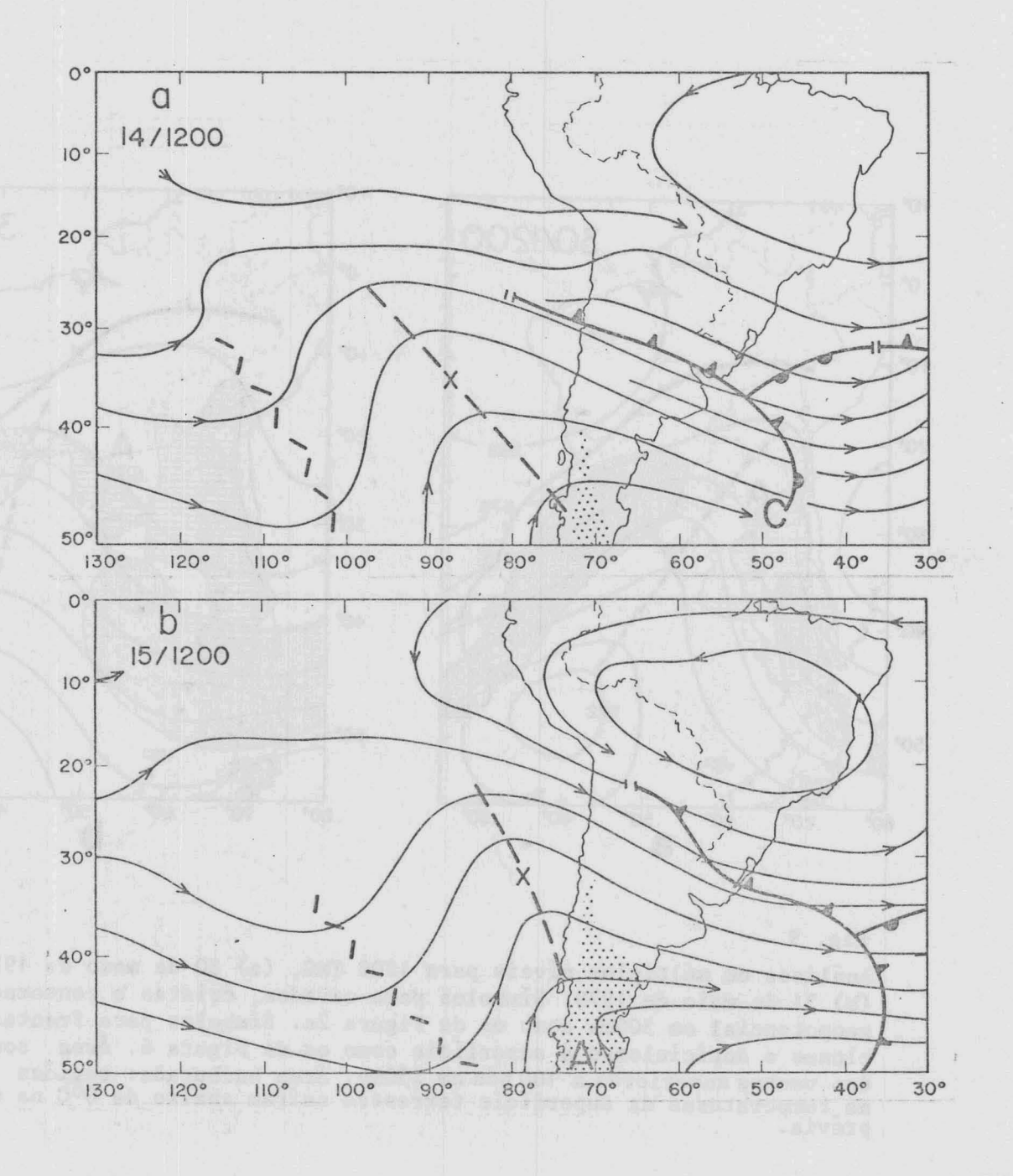
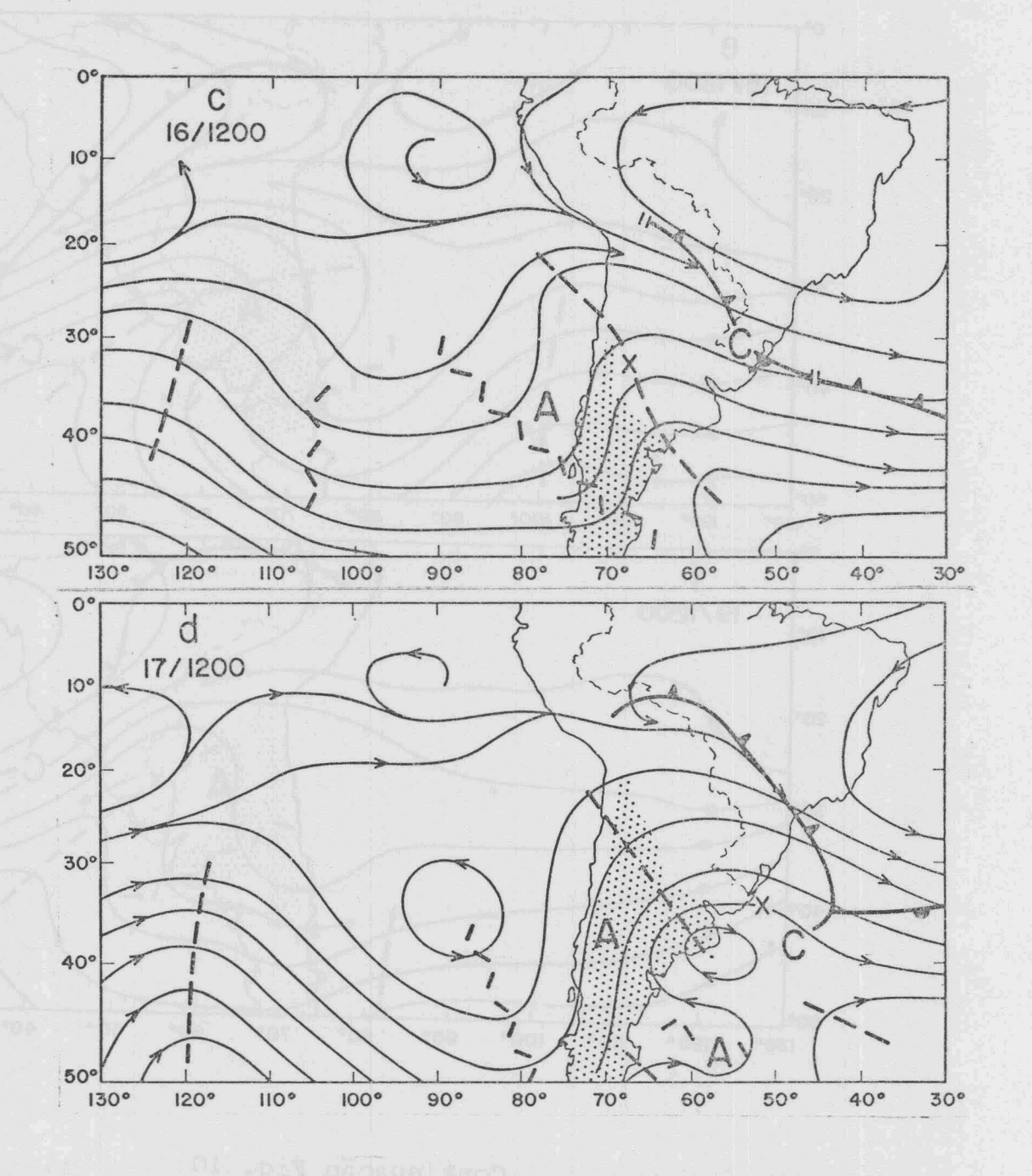
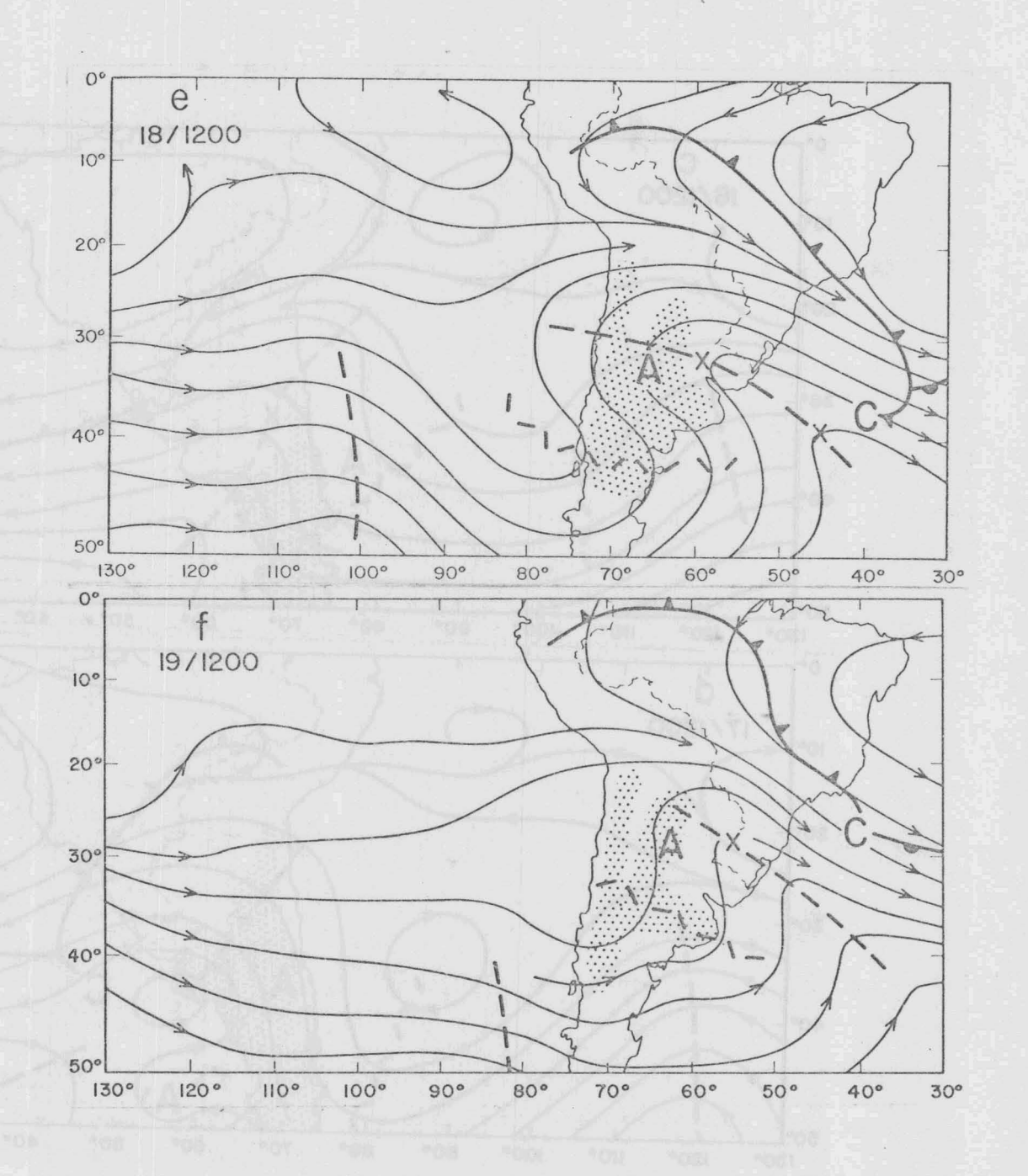


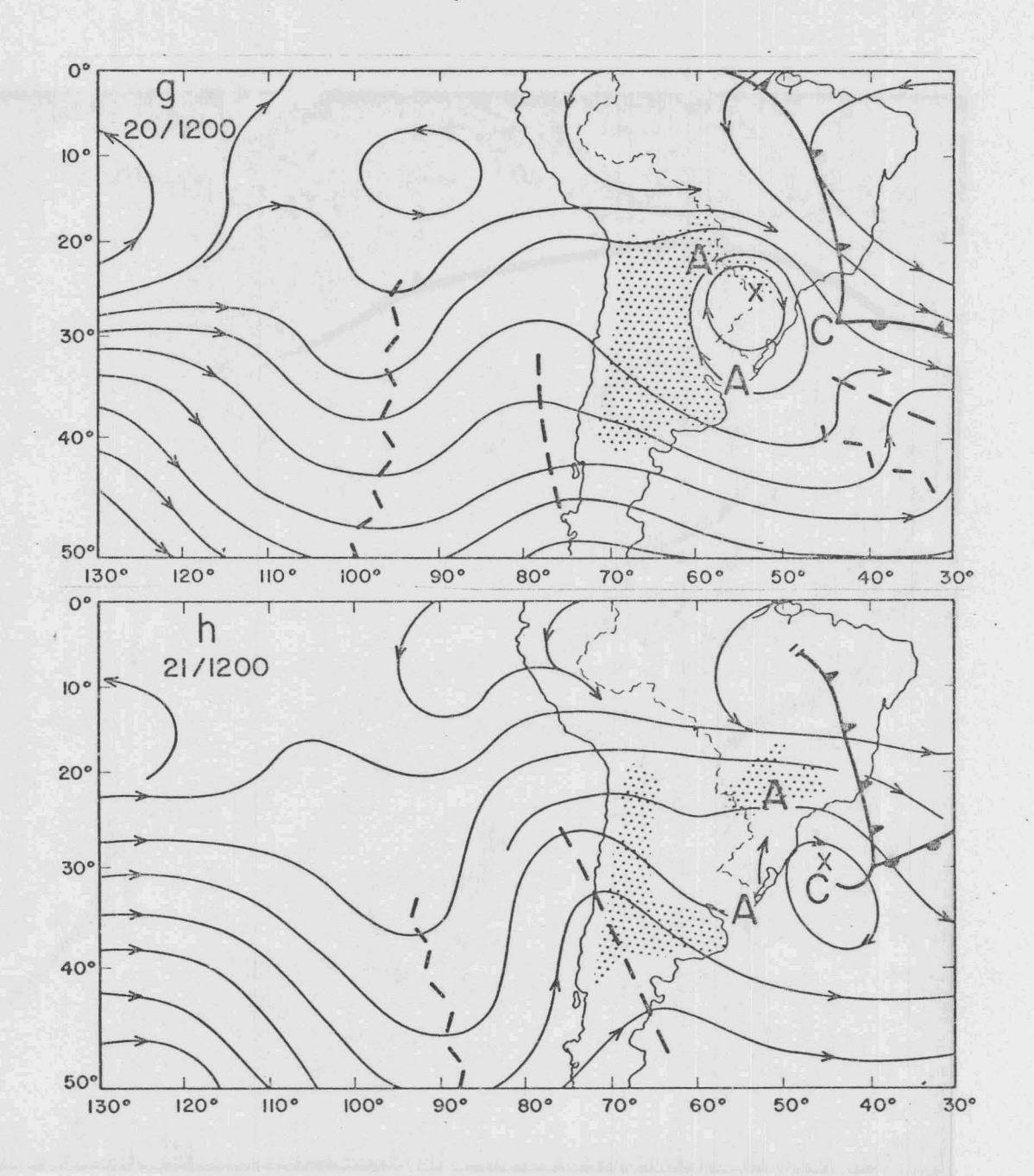
Fig. 10 - Análises sinóticas em 1200 TMG para os dias de 14 a 21 de julho de 1982. Dia e horário da análise situam-se no canto esquerdo supe rior de cada carta. Curvas com setas: linhas de corrente em 500mb. Símbolos para cavados e cristas em 500mb e frentes e ciclones à su perfície, como os da Figura 2. Letra X: centro de vorticidade do ca vado em 500mb. Áreas sombreadas: regiões onde a temperatura minima ficou abaixo de 0°C na noite prévia.



Continuação Fig. 10



Continuação Fig. 10



Continuação Fig. 10



Fig. 11 - Imagem no visivel da América do Sul em 1800 TMG do dia 19 de julho de 1981. As nuvens em espiral em Q localizam um ciclone que se des prendeu neste horário. A posição da frente fria aqui traçada foi determinada pela análise à superfície.



Fig. 12 - Imagens no infravermelho do ciclone desprendido Q, quando cruzava o sul do Brasil, em 1200 TMG dos dias 19,20,21, e 22 de julho de 1981.



Fig. 13 - Imagem realçada no infravermelho da área atingida pela geada, às 0600 HL do dia 21 de julho de 1981. A escala de cinza corresponde às temperaturas da superficie terrestre entre -4°C e +4°C, em intervalos de 1°C. O contorno nítido preto/branco representa a isoterma de 0°C. Tons escuros representam temperaturas negativas; tons claros, positivas.

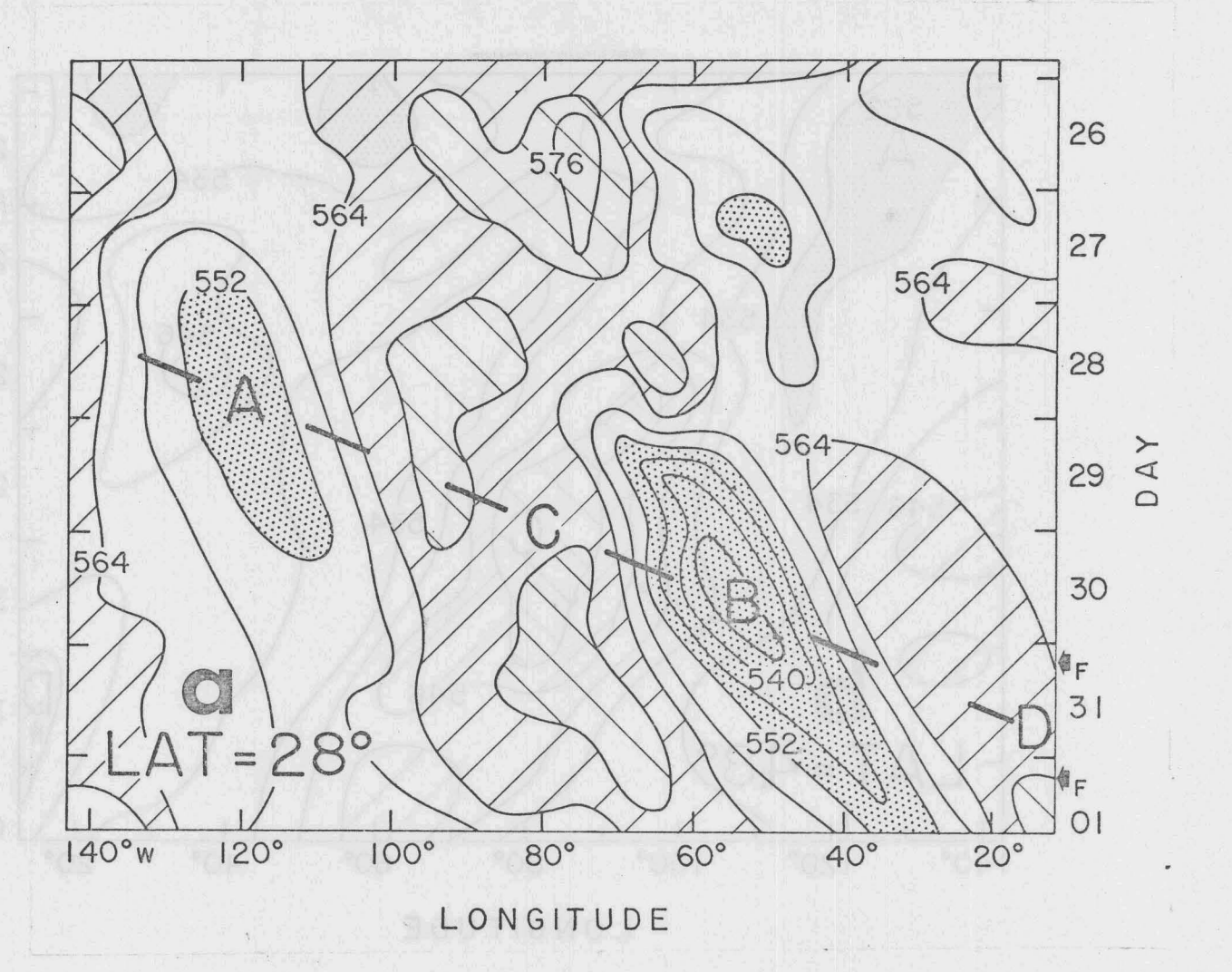
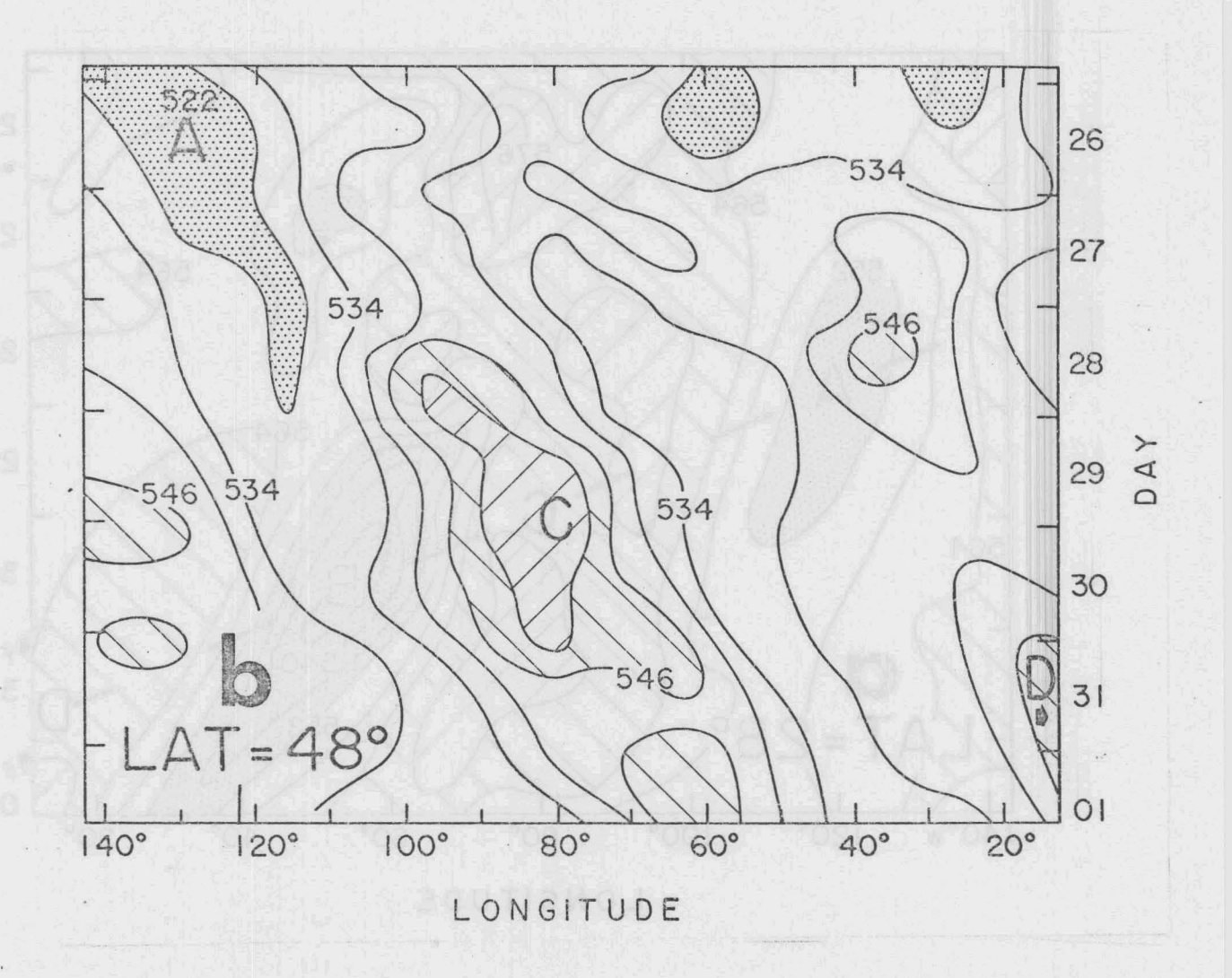


Fig. 14

Diagramas de Hovmöller para o campo de espessura 1000-500 mb em fun ção da longitude (da direita para esquerda) e do dia (de cima para baixo), em duas latitudes fixas: (a) 28°S e (b) 48°S. Valores são dados em decâmetros. Áreas sombreadas: anomalias positivas. A linha grossa tracejada representa propagação de energia das ondas de uma fase para outra. As letras F na margem direita em (a) indicam os ho rários nos quais geou no Brasil.



Continuação Fig. 14